

ФАЗОВЫЙ СОСТАВ АМОРФНЫХ ПЛЕНОК  
НА ОСНОВЕ ЖЕЛЕЗА ПО ДАННЫМ  
СЕЛЕКТИВНОСТИ МЕССБАУЭРОВСКОЙ СПЕКТРОСКОПИИ

Г.П. Николайчук, А.Г. Багмут,  
В.М. Косевич, В.Ю. Рыжих,  
И.А. Дубовцев

Исследование фазового состава пленок носит, как правило, интегральный характер по толщине. В случае пленок железа мессбауэровская спектроскопия конверсионных электронов позволяет изучать слой толщиной до 70 нм и для пленок меньшей толщины дает информацию о состоянии всего объема образца. Если изучать мессбауэровские спектры с учетом энергетических потерь, которые претерпевают электроны конверсии, то можно связать полученную информацию с глубиной расположения резонансных ядер и тем самым изучать состав пленки по толщине. Эта возможность была впервые реализована в работах Бончева и др. [1], что дало начало развитию селективной мессбауэровской спектроскопии конверсионных электронов (СМСКЭ). В данной работе показана эффективность метода СМСКЭ в применении к изучению фазового состава по толщине аморфных пленок на основе железа, полученных методом импульсного лазерного напыления (ИЛН).

Для получения пленок использовалось железо, обогащенное на 95 %  $^{57}Fe$ , исходная чистота которого была не хуже 99.95 %. Методика препарирования конденсатов описана в [2]. Пленки осаждали на алюминиевую фольгу толщиной 10 мкм, прозрачную для  $\gamma$ -квантов с энергией 14.4 кэВ. Аморфизация металлических пленок, получаемых методом ИЛН, происходит под действием газов остаточной атмосферы [3]. Формирование аморфных конденсатов железа происходит при давлении в вакуумной камере  $P > 3 \cdot 10^{-5}$  Па. При  $P < 3 \cdot 10^{-5}$  Па образуется поликристаллическая пленка.

Исследование пленок проводили на магнитном  $\beta$ -спектрометре, адаптированном для селективной по глубине мессбауэровской спектроскопии конверсионных электронов [4]. Источник  $\gamma$ -квантов  $^{57}Co$  в Pd и исследуемые пленки находились при комнатной температуре. Мессбауэровские спектры снимали, регистрируя K-конверсионные электроны различных энергий и электроны вторичной электронной эмиссии (ВЭЭ). Наиболее вероятную глубину выхода электронов оценивали в соответствии с работой [5]. Энергия электронов ВЭЭ находилась в пределах 2–10 эВ, поэтому они могли быть испущены только несколькими поверхностными монослоями, а выбиты электронами, приходящими со всего объема пленки.

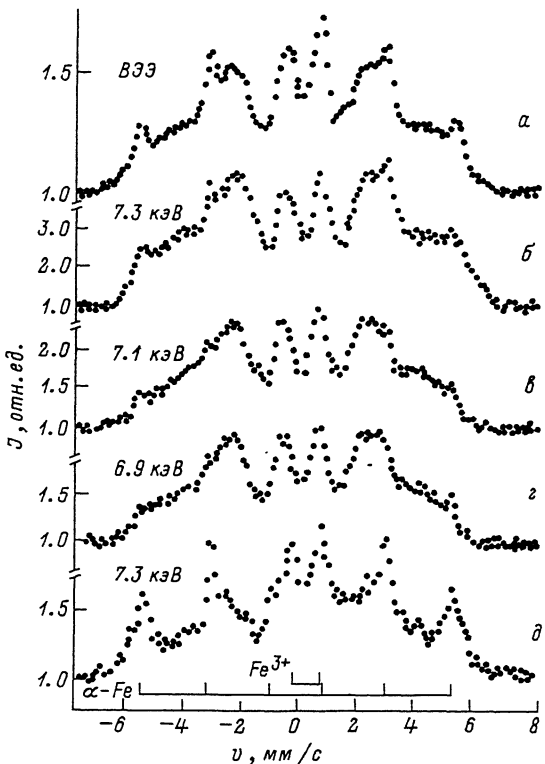


Рис. 1. СМСКЭ спектры пленок железа на алюминиевых подложках:  
а – г – ВЭЭ и К – конверсионные электроны различных энергий  
для пленки толщиной 60 нм, полученной при  $P=5 \cdot 10^{-5}$  Па; д – К –  
конверсионные электроны энергией 7.3 кэВ для пленки толщиной  
15 нм, полученной при  $P=10^{-5}$  Па.

МСКЭ спектры пленок железа, полученных при различных давлениях остаточной атмосферы, приведены на рис.1. Спектр поликристаллической пленки толщиной 15 нм, осажденной при  $P=10^{-5}$  Па (рис. 1, д), состоит из суперпозиции секстета  $\alpha$  –  $Fe$  и дублета мелкодисперсной суперпарамагнитной оксидной фазы железа в состоянии  $Fe^{3+}$ , на что указывает повышенная относительная интенсивность третьей и четвертой линий. Положение правого плеча дублета близко к четвертой линии секстета  $\alpha$  –  $Fe$ , поэтому его интенсивность выше левого, имеющего большую ширину. Спектры пленки толщиной 60 нм, сконденсированной при  $P=5 \cdot 10^{-5}$  Па, полученные при регистрации электронов ВЭЭ и К – конверсионных электронов различных энергий, показаны на рис. 1, а-г. В этом случае спектры состоят из суперпозиции спектров трех фаз железа: аморфного ферромагнитного секстета, мелкодисперсного оксидного суперпарамагнитного дублета  $Fe^{3+}$  и секстета кристаллического  $\alpha$  –  $Fe$ .

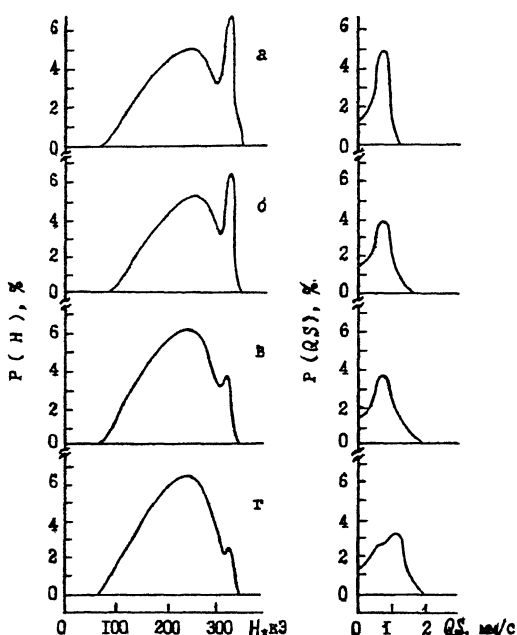


Рис. 2. Распределения сверхтонких полей  $P(H)$  и квадрупольных расщеплений  $P(QS)$  для спектров, приведенных на рис. 1, а-г.

Построенные на основании расчетов экспериментальных спектров распределения сверхтонких полей в ферромагнитной аморфной фазе и квадрупольных расщеплений для суперпарамагнитных дублетов приведены на рис. 2. Индексы соответствующих спектров на рис. 1 и их обработки на рис. 2 совпадают. В результате получены данные о фазовом составе пленок на различной глубине, приведенные в таблице.

Наиболее вероятная величина эффективного магнитного поля на ядрах железа в аморфной фазе 240–250 кЭ. С увеличением глубины выхода электронов вклад аморфной фазы увеличивается, а оксидной и кристаллической уменьшается. Причем количество  $Fe^{3+}$  уменьшается незначительно, а  $\alpha-Fe$  в несколько раз. При этом в распределениях квадрупольных расщеплений наблюдается сдвиг в сторону больших значений, что говорит об уменьшении размера суперпарамагнитных частиц оксидов с увеличением глубины выхода электронов. В отличие от аморфной пленки вклад суперпарамагнитной оксидной фазы в кристаллическом образце наблюдается только на поверхности. Значительный вклад оксидной фазы по всей глубине аморфных конденсатов говорит о том, что газ был захвачен в процессе роста пленки, а не за счет окисления поверхности, как в случае кристаллических конденсатов.

Рассмотрим механизм конденсации. Пленки получали при испарении железа импульсами длительностью  $\sim 10$  нс, частота следования которых  $v = 25$  Гц. Время конденсации одного импульса испаренного

Таблица. Фазовый состав пленки толщиной 60 нм, полученной при  $P=5 \cdot 10^{-5}$  Па, на различных глубинах от поверхности

Энергия электронов, эВ	Наиболее вероятная глубина выхода электронов, нм	Количество фаз, %		
		аморфная ферромагнитная	мелкодисперсная суперпарамагнитная $Fe^{3+}$	кристаллическая $\alpha$ -Fe
2-10	Поверхность	80.3	12.7	7.0
$7.3 \cdot 10^3$	2.5	82.5	11.0	6.5
$7.1 \cdot 10^3$	10	86.7	9.8	3.5
$6.9 \cdot 10^3$	20	87.9	9.6	2.5

вещества около 1 мкс. Энергетический состав пароплазменного потока от 1 до  $10^3$  эВ, а средняя энергия частиц лазерной эрозионной плазмы (ЛЭП) около 100 эВ. Учитывая это, можно предположить, что аморфизация пленки в процессе ИЛН происходит благодаря действию ряда факторов: закалке неравновесного состояния, которое формируется непосредственно после конденсации импульса пароплазменного потока; подавления коалесценции и поверхностной миграции адатомов металла слоем адсорбированных в перерыве между импульсами конденсации газов, самым активным из которых является кислород; частичной хемосорбции газов, активируемой ионной и электронной составляющими ЛЭП осаждаемого металла. В наших экспериментах слой адсорбированного в перерыве между импульсами кислорода будет равен толщине слоя металла, осаждаемого за один импульс, при  $P \approx 3 \cdot 10^{-5}$  Па. Поэтому, если  $P < 3 \cdot 10^{-5}$  Па, то образуется поликристаллическая пленка. В этом случае кислорода будет недостаточно для блокировки коалесценции зародышей металла, их укрупнения и образования кристаллических островков. При  $P \geq 3 \cdot 10^{-5}$  Па происходит формирование аморфных конденсатов.

Зарождение кристаллической фазы и увеличение ее количества при приближении к поверхности конденсата, обнаруженное в пленках толщиной 60 нм, может объясняться флуктуациями в расположении атомов железа, возникающими вследствие многоимпульсного характера напыления. Под действием импульса конденсируемого вещества происходит не только частичное распыление пленки и адсорбированных в перерыве между импульсами конденсации примесей, но и активация диффузационных процессов, что может приводить к разрушению метастабильного равновесия в аморфной фазе и образованию локальных выделений, в которых ближний порядок такой же, как в кристалле. Однако полной кристаллизации пленки, несмотря на наличие зародышей кристаллической фазы, не происходит из-за наличия в конденсате оксидной фазы, которая образует межклластерные

прослойки, препятствующие коалесценции кластеров железа, вследствие чего пленка остается аморфной.

В пленках, полученных при  $P \geq 3 \cdot 10^{-5}$  Па, толщина которых не превышала 40 нм, кристаллической фазы обнаружено не было. Они состояли из аморфной ферромагнитной и оксидной суперпарамагнитной фаз. По-видимому, это обусловлено проявлением фазового размерного эффекта, связанного с толщиной пленки.

Таким образом, методом селективной по глубине мессбауэровской спектроскопии показано, что причиной аморфизации пленки, получаемой методом импульсного лазерного напыления, является захват кислорода, происходящий в процессе конденсации, так как аморфная пленка содержит оксидную фазу не только на поверхности, а по всей глубине.

### Список литературы

- [1] Bonchey Z., Jordano A., Minkova A. // Nucl. Inst. and Meth. 1969. V. 70. N 4. P. 36-40.
- [2] Багмут А.Г., Косевич В.М., Николайчук Г.П. // Физика и химия обработки материалов. 1988. № 3. С. 74-81.
- [3] Багмут А.Г., Косевич В.М., Николайчук Г.П. // Вопросы атомной науки и техники. Сер. Ядерно-физические исследования (теория и эксперимент). 1990. В. 4(12). С. 59-64, 82-88.
- [4] Ruzhukh V.Yu., Babenkov M.I., Bobukhin B.V. et al. // Nucl. Instr. and Meth. 1990. V. B 47. N 4. P. 470-473.
- [5] Itoh J., Toriyama T., Saneyoshi K., Hisatake K. // Nucl. Instr. and Meth. 1983. V. 205. P. 279-286.

Поступило в Редакцию  
19 августа 1991 г.